

Zakład Badawczo Leczniczy Chorób Nerwowo – Mięśniowych
Instytut Medycyny Doświadczalnej i Klinicznej PAN
ul. Pawińskiego 5, 02-106 Warszawa
Tel/ fax /4822/ 608 65 26

Badanie wycinka mięśniowego w mikroskopie świetlnym

Nr: 18/2012 (21/12 ME)

Imię i nazwisko :

Wiek:

Rozpoznanie:

Data pobrania wycinka:

Miejsce:

Barwienie: H-E, trichrom Gomoriego, DHB, DHM, DPNH, ATP-azy

W pobranym wycinku włókna mięśniowe o różnej średnicy bardzo małe i średnie tworzą pęczki oddzielone tkanką łączną i tłuszczową. Podział włókien na typy enzymatyczne zachowany w barwieniu enzymami oddechowymi. Włókna małe o cechach włókien płodowych wykazują aktywność włókien typu 1, włókna o większej średnicy o typie drugim. Brak różnicowania włókien na typy w ATP-azie o pH 4,3.

Analiza ultrastrukturalna ocenianej biopsji wykazała obecność licznych włókien o cechach miotuby pierwotnej / jednojądrowej / o typie miotu dojrzałych i włókna wykazujące cechy dojrzałości / typ 2/. W obrębie pęczków mięśniowych widoczne pęczki włókien nerwowych niezmielinizowanych wszystko powyższe wskazuje na zaawansowany defekt procesu dojrzewania tkanki mięśniowej.

Immunohistochemiczna analiza wykazała prawidłową aktywność merozyny.

4714329
Prof. dr hab. med.
Anna Fidziańska-Dolot
specjalista medycyny
ul. Noegoberska 3 m. 41

Prof. dr hab. A. Fidziańska- Dolot

Przypadek: Nr 18/12 (21/12 ME)

Wiek 2 miesiące

Rok: 2012

Rozpoznanie: zaawansowany defekt procesu dojrzewania tkanki mięśniowej

Fig 1, 2, 3, 4,5 Włókna mięśniowe o cechach miotuby pierwotnej (jednojądrowe) oraz miotuby dojrzałe, oddzielone tkanką łączną .

Fig. 6-13 w obrębie pęczków włókien mięśniowych obecne są pęczki włókien nerwowych , niezmielinizowanych

Summary

A 2-month-old patient with a defect in the maturation of muscle tissue was examined.

In the examined biopsy muscle fibers with morphology of primary (mononuclear) and mature myotubes separated by connective tissue were present (Fig. 1, 2, 3, 4.5). Within the bundles of muscle fibers, the bundles of non-myelinated nerve fibers were observed (Fig. 6- 13).



AF 20/012/13
1200007 80.0KV X3000

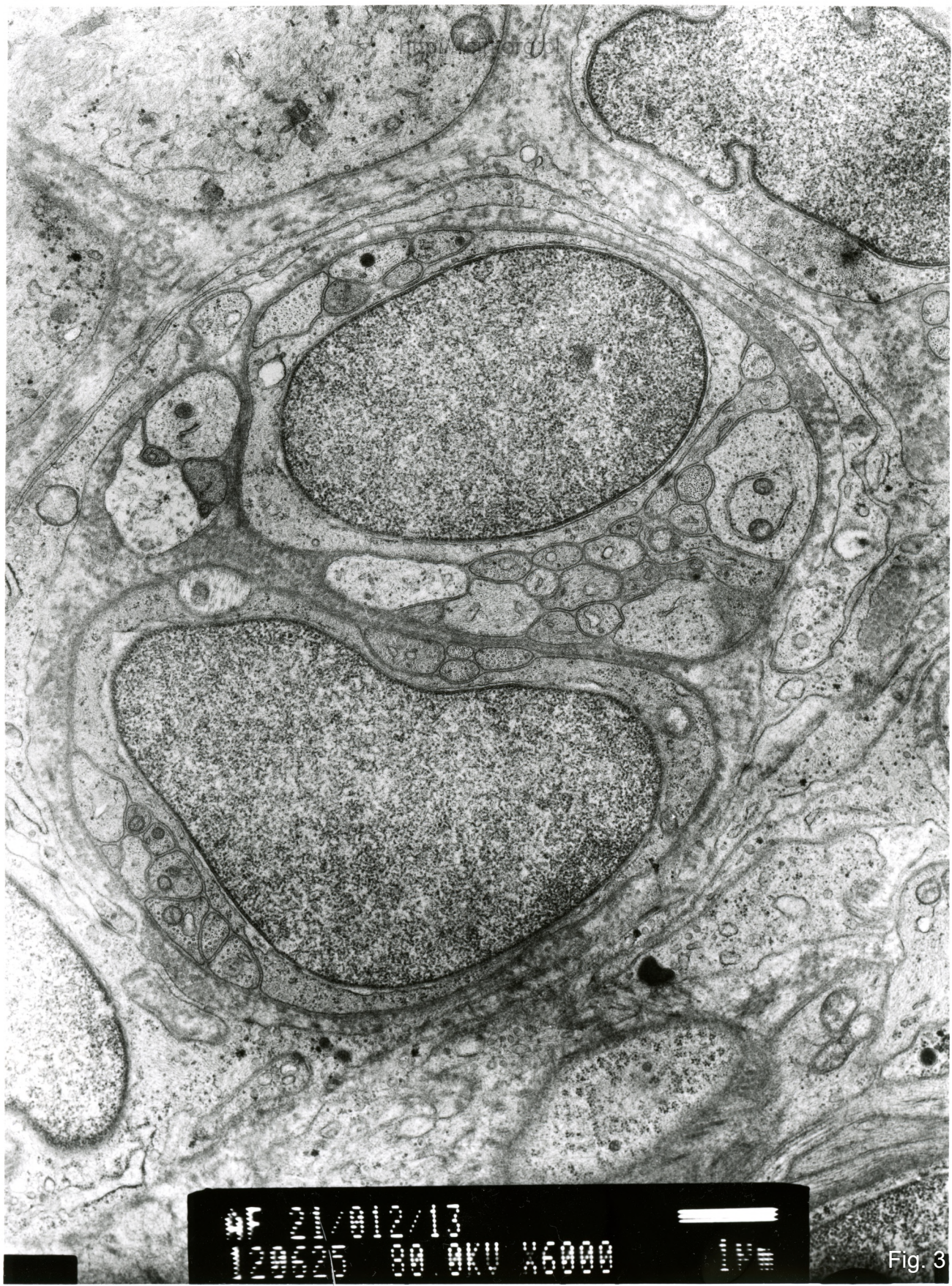


Fig. 1



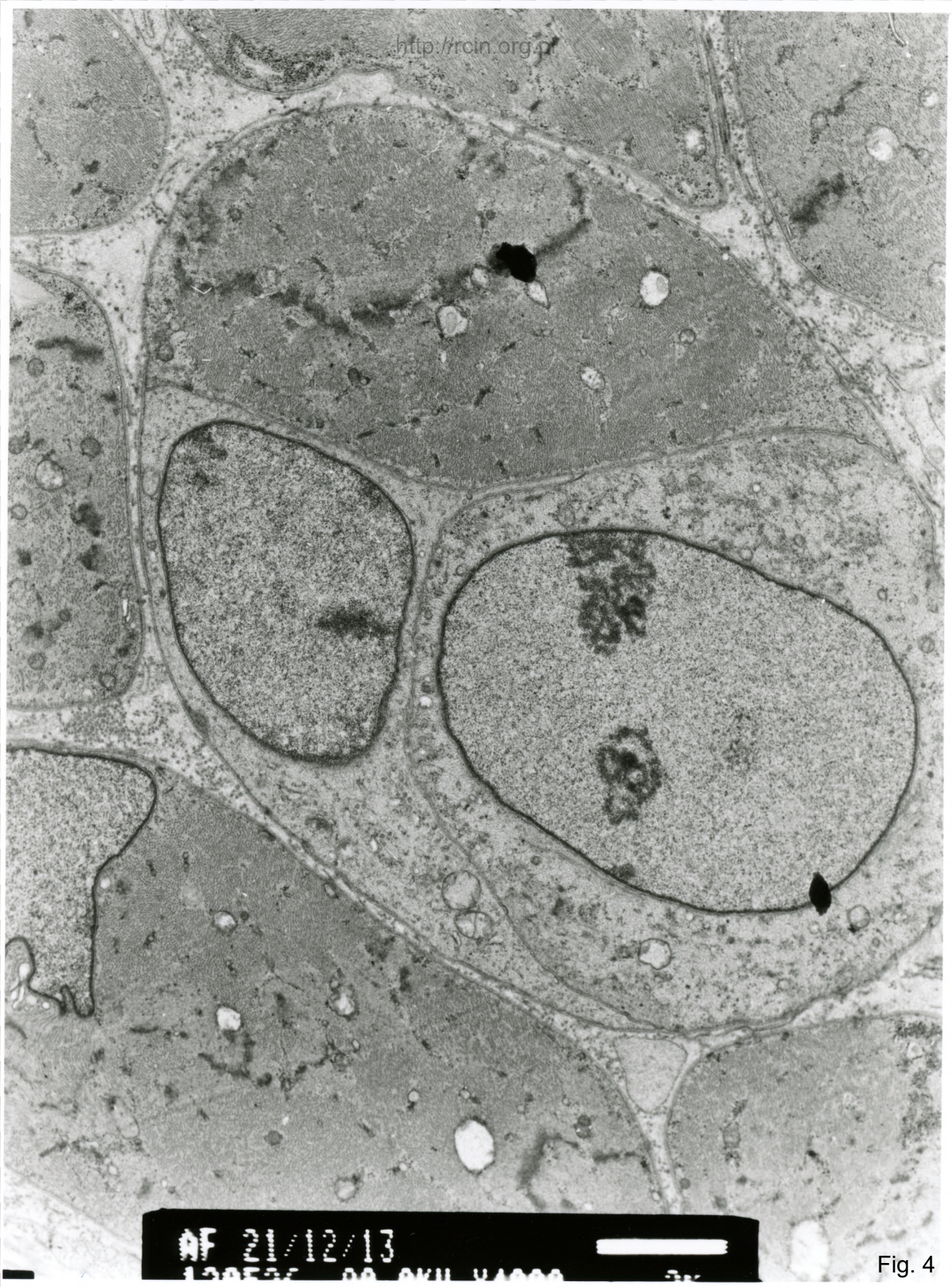
AF 21/12/13
130525 00 AXU 4400 3V

Fig. 2



MSK 2013/02/13
09 9KU X6000

Fig. 3



AF 21/12/13

120500 00 0000 00000

Fig. 4



1987 01/24/13
000000 00.0KV X6000

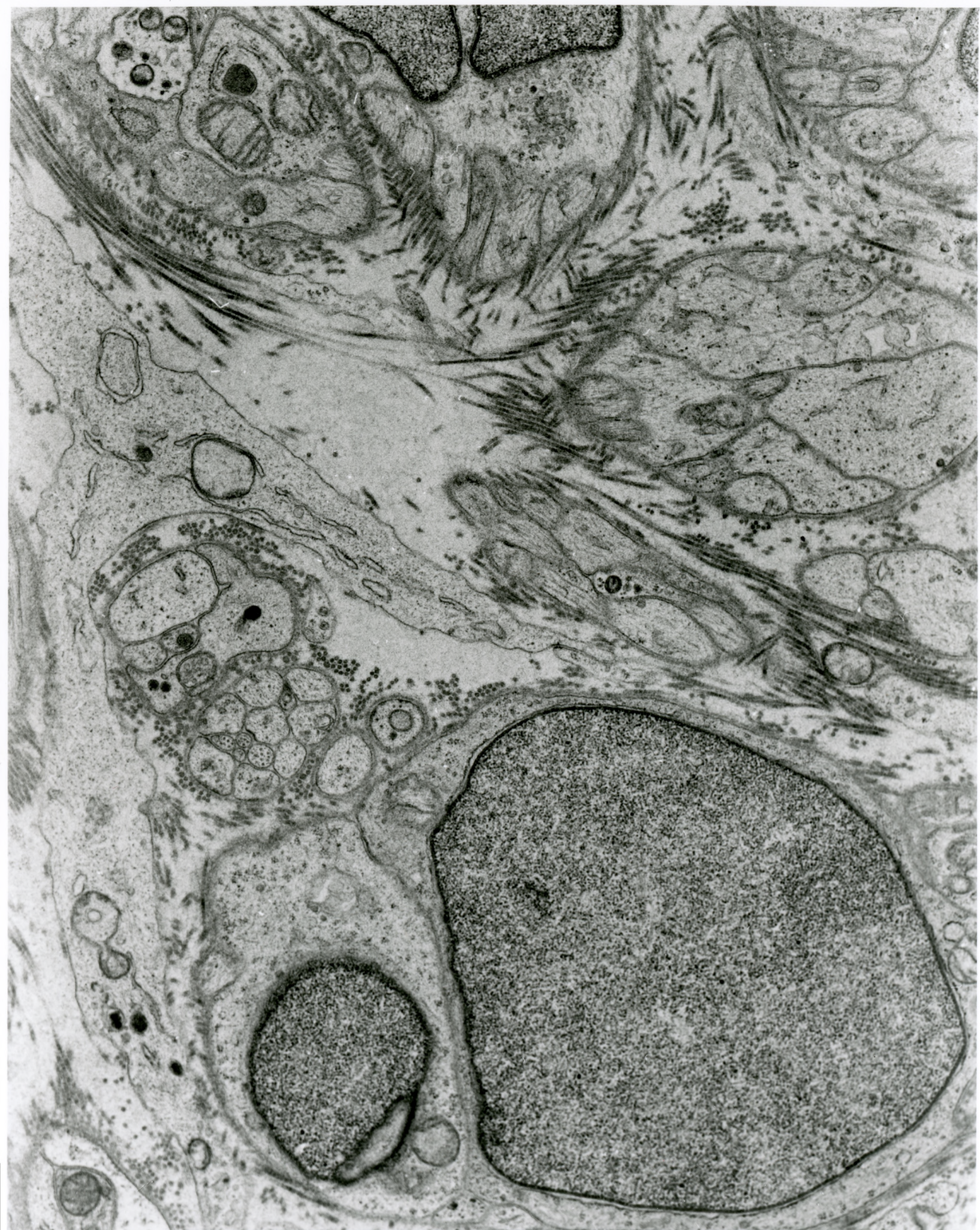


Fig. 5



AF 21/002/14
120516 00 0KV X3000

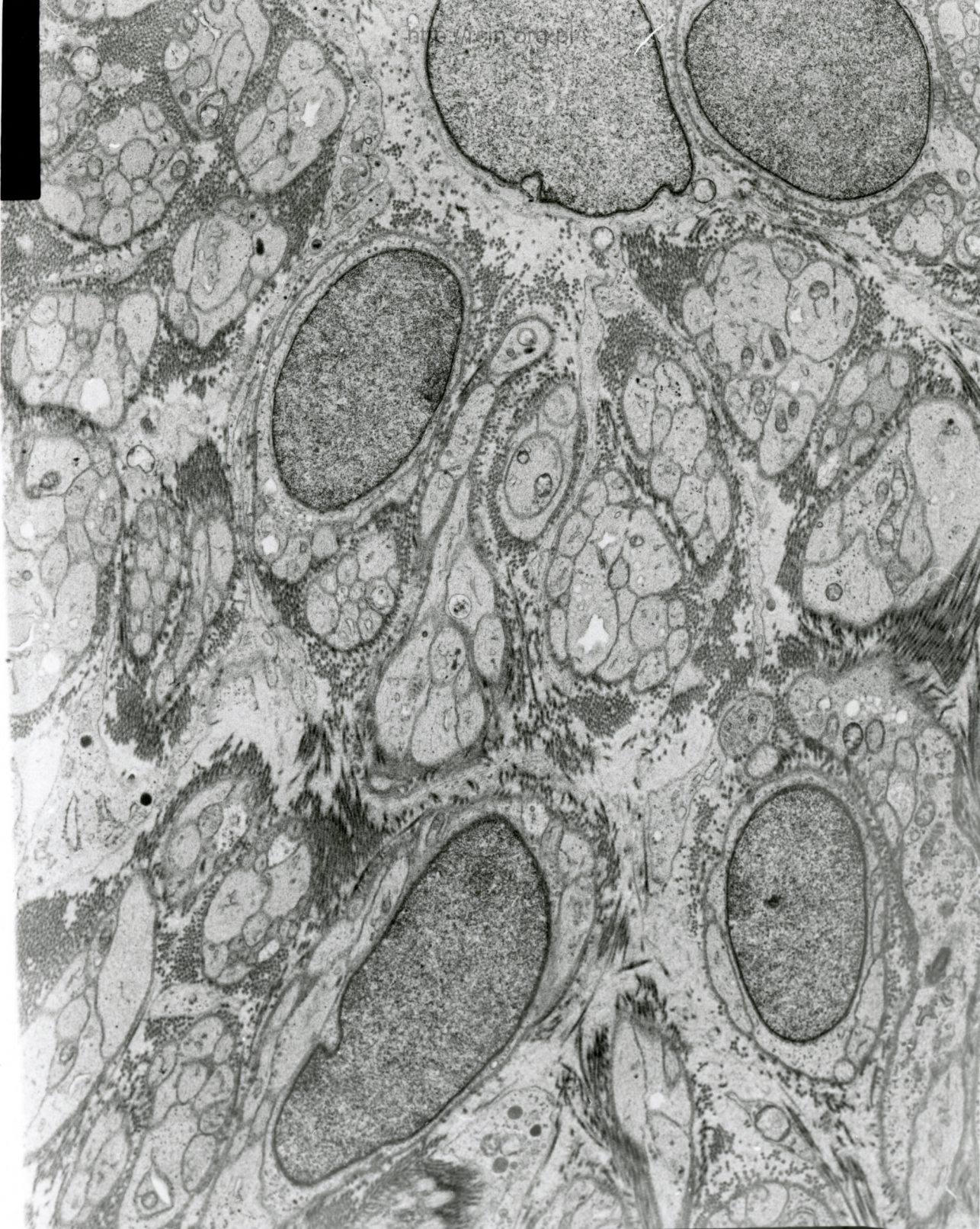
Fig. 6



AF 21/002/14
120517 80 OKU X5000

Fig. 7

http://www.ora.ri/



MS 2000/01/13
00 0KV X3000

Fig. 8



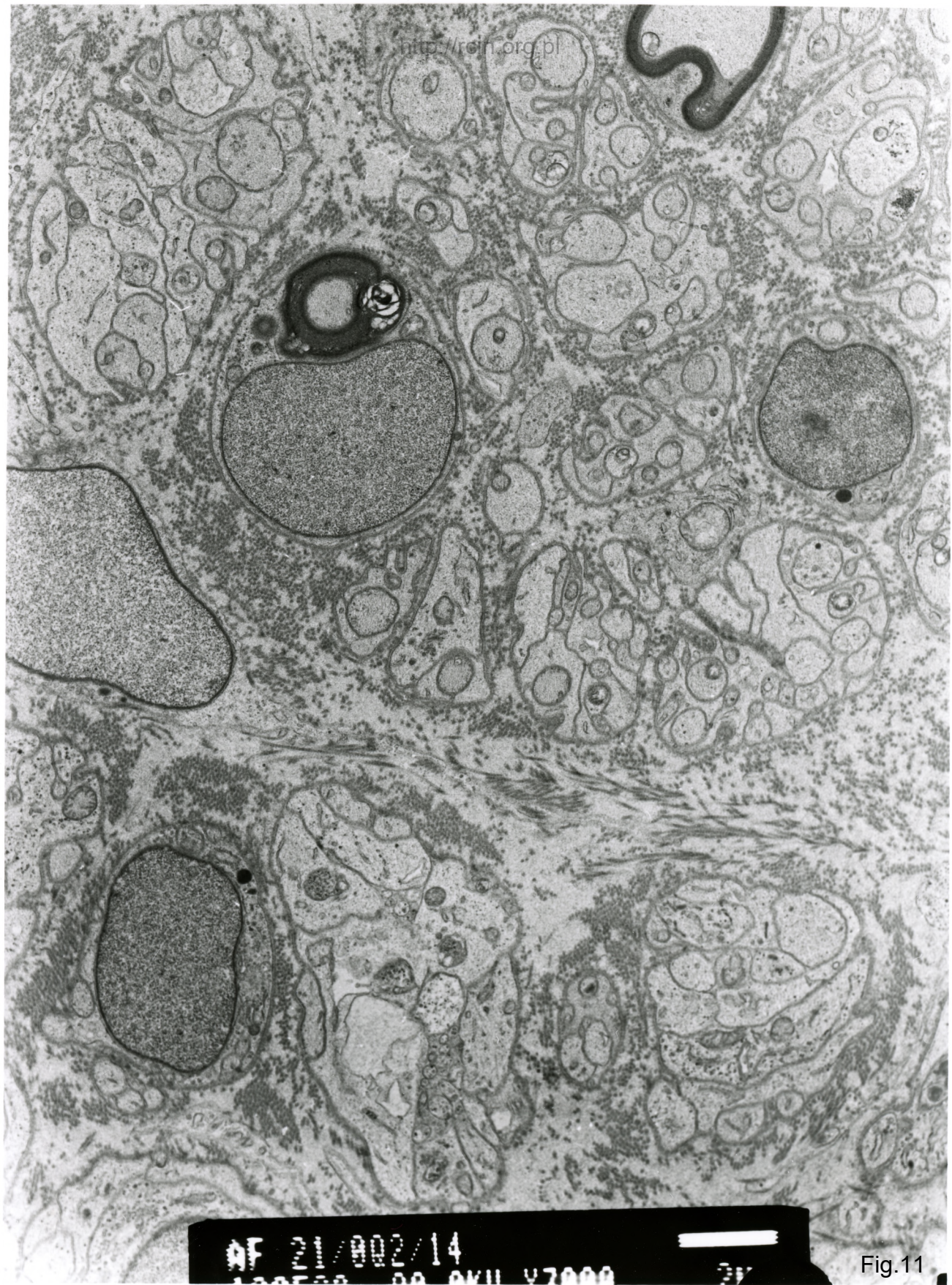
AF 21/012/13
120493 00.0KV X6000 1µm

Fig. 9



AF 21/002/14
120519 80 OKU X3000 2V

Fig.10



MF 21/002/14
10000 00 AXU Y7000 2V

Fig.11

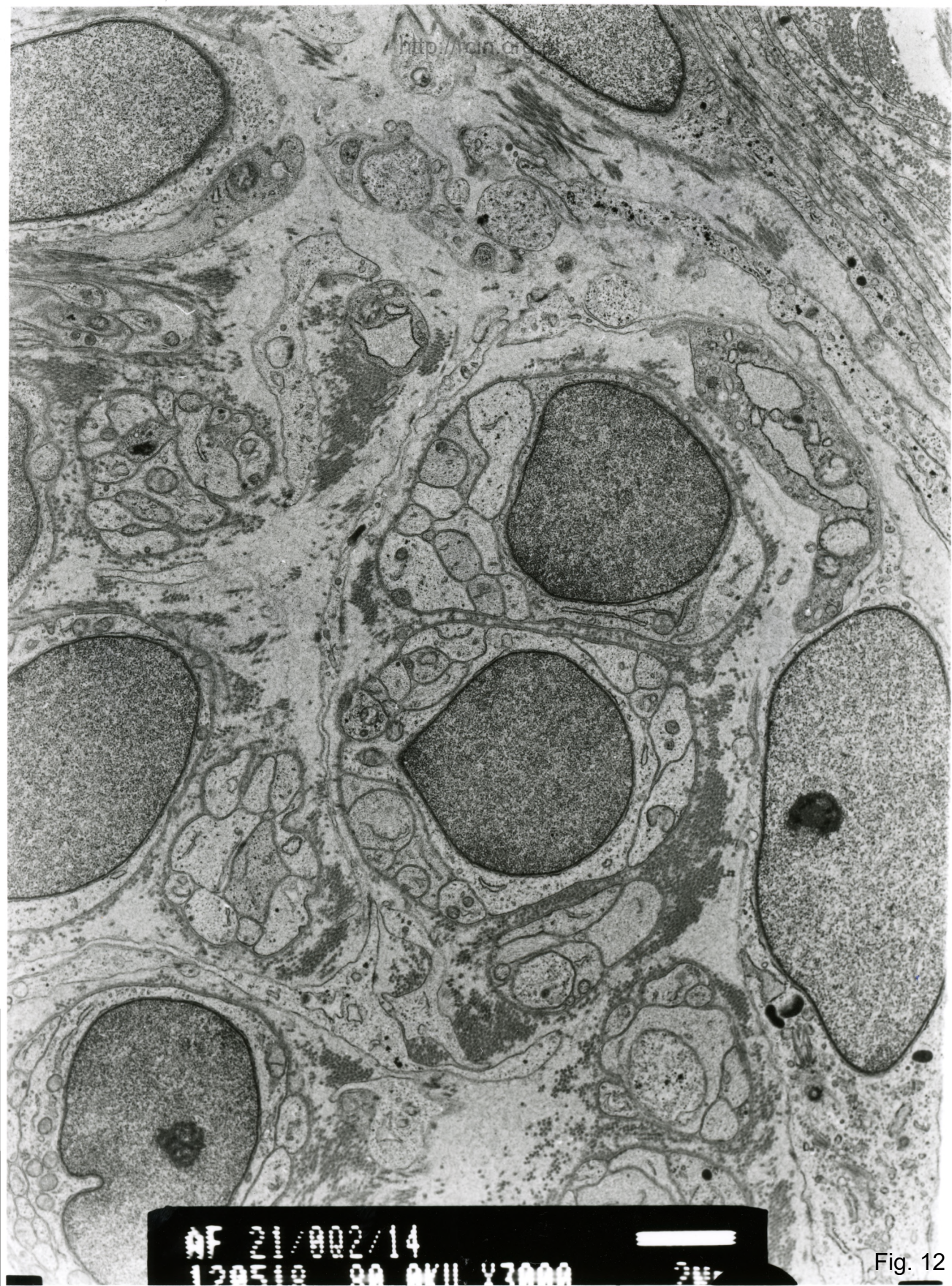
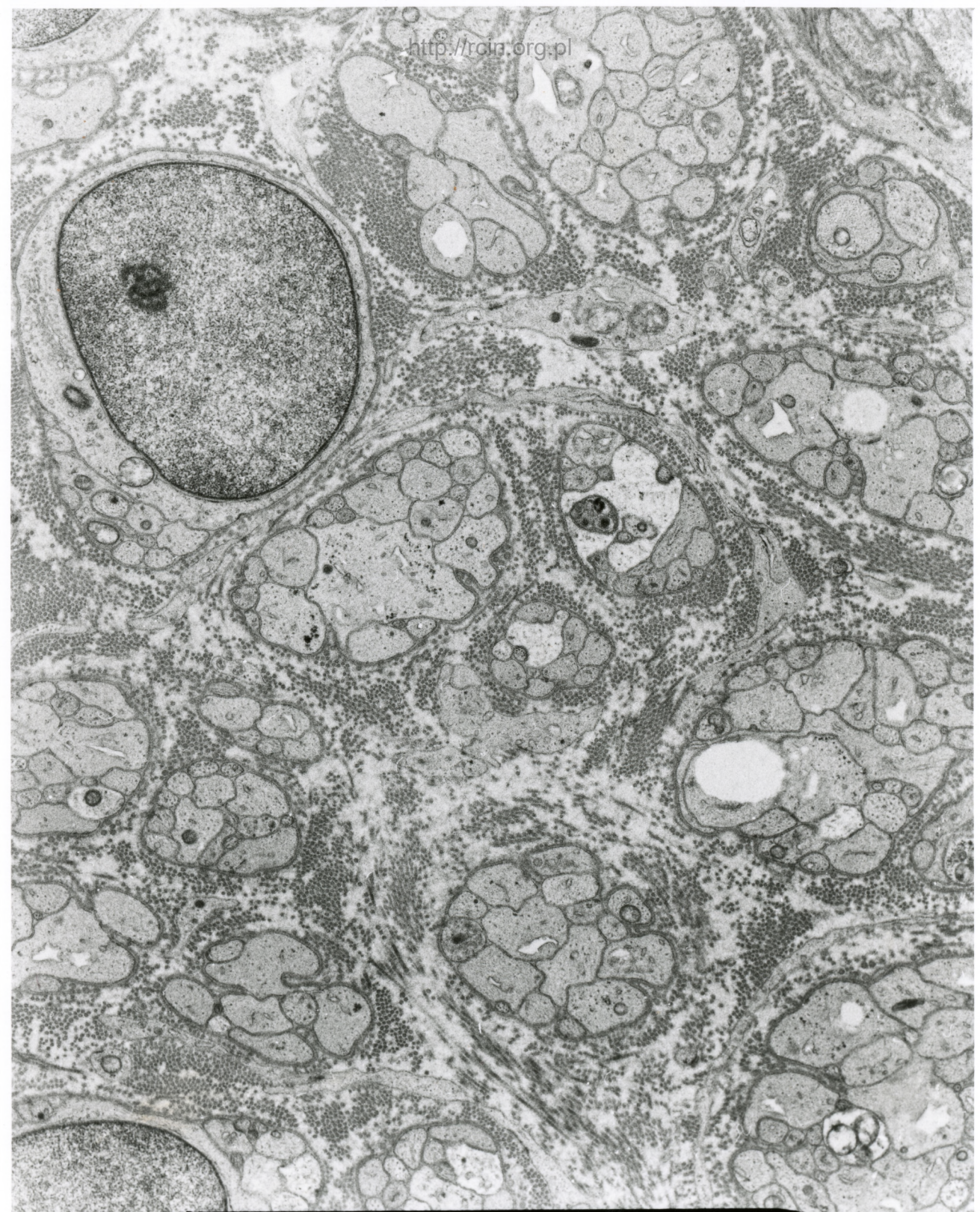


Fig. 12



MF 12/012/13
129428 80.0KV X4000 2V

Fig.13